

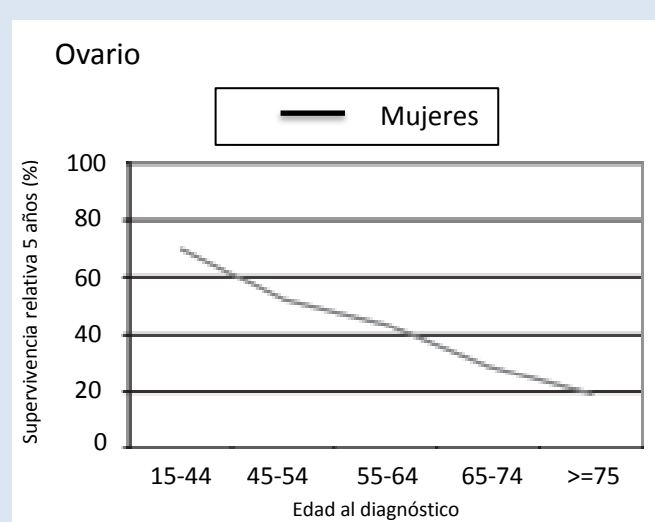
Reglas IOTA para la discriminación entre masas anexiales sólidas benignas y malignas: Validación externa.



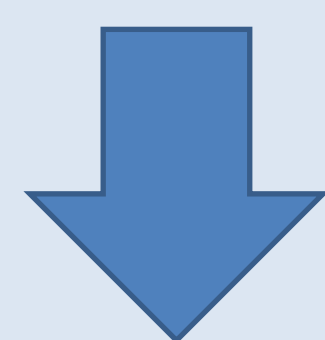
Begoña Gastón Moreno¹, Juan Luis Alcázar Zambrano²

¹ Estudiante Medicina, Universidad de Navarra. ² Departamento Ginecología y Obstetricia Clínica Universitaria de Navarra.

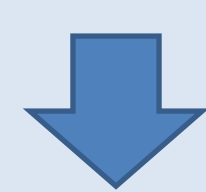
INTRODUCCIÓN



3100 casos diagnosticados/año
5% de los tumores en mujeres
6º tumor maligno más frecuente
1º en letalidad
Supervivencia a 5 años: 43,8 %
(disminuye conforme avanza la edad)



Esfuerzo por desarrollar una técnica de detección precoz



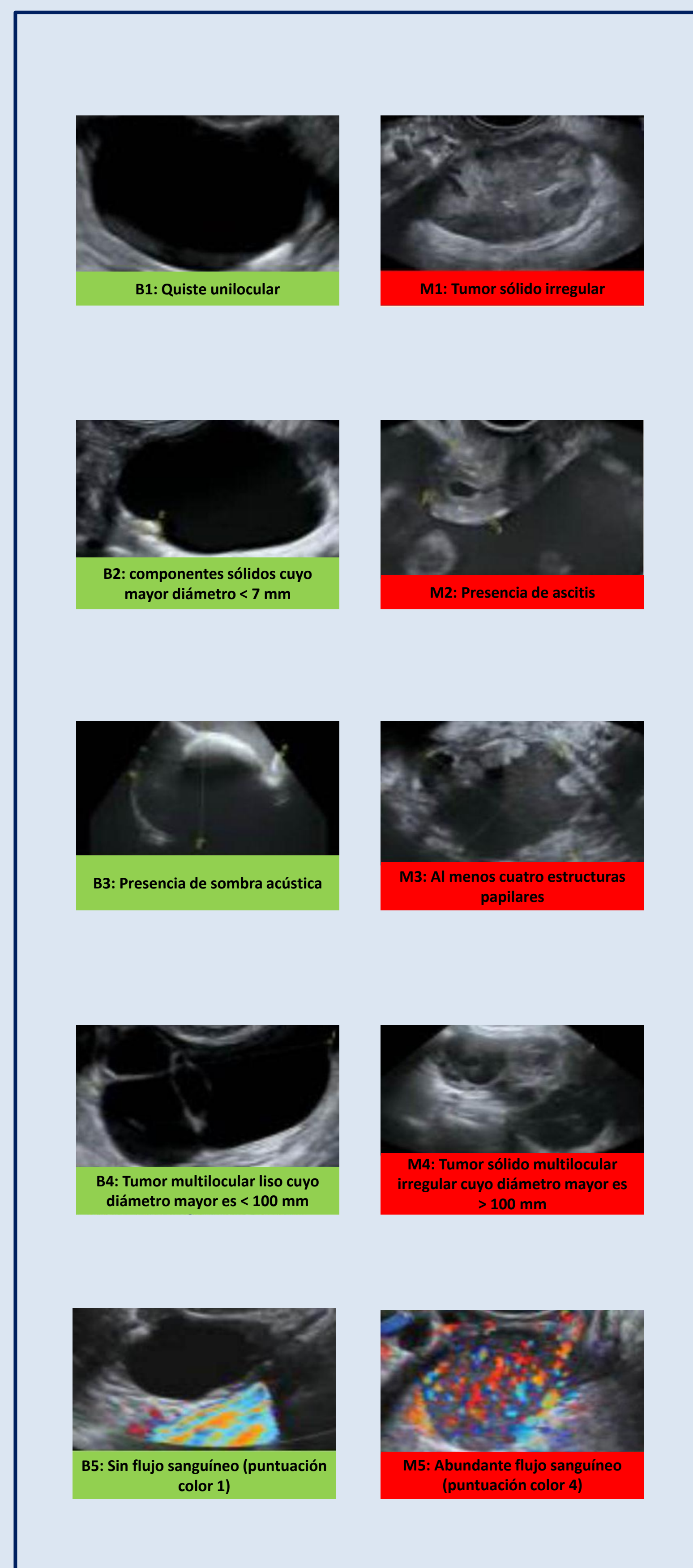
2008: Grupo Internacional de Análisis del Tumor de Ovario (IOTA Group) → Reglas Simples IOTA basadas en Ecografía.³

Validación Interna y Externa: Reglas IOTA tienen un rendimiento aceptable en términos de sensibilidad y especificidad, al ser aplicadas por examinadores expertos.

¿Cuál es el rendimiento diagnóstico de las Reglas IOTA cuando son utilizadas por un examinador inexperto?

OBJETIVO

Realizar una **validación externa** de las Reglas Simples IOTA → determinar su utilidad en el diagnóstico y manejo de las masas anexiales sólidas cuando son aplicadas **por examinadores inexpertos**.



MATERIAL Y MÉTODOS

DISEÑO: Observacional Retrospectivo.

Revisión de 128 casos de mujeres diagnosticadas de una masa anexial persistente entre enero de 2011 y junio de 2012 en la CUN y sometidas a extirpación quirúrgica de la masa.

En todos los casos fue posible obtener un diagnóstico histológico definitivo.

Tras un entrenamiento mínimo → observación de las imágenes ecográficas de cada paciente y clasificación según las reglas IOTA.

Por último, se analiza el rendimiento diagnóstico mediante el cálculo de sensibilidad, especificidad, razón de verosimilitud positiva y negativa; con sus correspondientes IC al 95%.

RESULTADOS

• 93 de las 128 masas anexiales (72,7%) pudieron ser clasificadas utilizando las Reglas Simples IOTA: 17 (13,3%) eran malignas y 76 (59,4%) benignas.

• 35 masas (27,3%) no pudieron ser clasificadas usando estas reglas. En 22 casos (17,2%) no eran aplicables las normas, mientras que 13 masas (10,1%) presentaban tanto características B como M.

	N	%
Clasificables	93	72.7
Malignas	17	13.3
Benignas	76	59.4
Inclasificables	35	27.3
Reglas no aplicables	22	17.2
Reglas B y M aplicables	13	10.1
Total	128	100.0

Sensibilidad	0,9412	0,7302 – 0,9895
Especificidad	0,9868	0,9292 – 0,9977
Razón verosimilitud positiva	71,529	10,17 – 503,083
Razón verosimilitud negativa	0,060	0,009 – 0,399
Odds ratio diagnóstica	1200,000	71,251 – 20210,151

Resultados de los test estadísticos que consideran sólo el número de masas en las que era posible aplicar las reglas.

Sensibilidad	0,9688	0,8426 – 0,9945
Especificidad	0,7813	0,6886 – 0,8522
Razón verosimilitud positiva	4,429	3,019 – 6,496
Razón verosimilitud negativa	0,040	0,006 – 0,276
Odds ratio diagnóstica	110,714	14,263 – 859,391

Resultados de los test estadísticos considerando las masas no clasificables como malignas.

CONCLUSIONES

Hasta la fecha, este es el primer estudio que analiza el rendimiento diagnóstico de las Reglas Simples IOTA para la discriminación entre las masas anexiales benignas y malignas en las manos de un examinador inexperto.

Las Reglas Simples IOTA tienen un rendimiento aceptablemente bueno en términos de sensibilidad y especificidad en manos de un examinador no experto.

Sin embargo, los resultados muestran un 1,31% de falsos negativos y una tasa de falsos positivos del 40,38%. Este último dato es relativamente alto.

Sería necesario realizar una validación externa prospectiva de las Reglas IOTA cuando son aplicadas por un examinador inexperto.⁴

3. Timmerman D, Testa AC, Bourne T, Amez L, Jurkovic D, Van Holsbeke C, et al. Simple ultrasound-based rules for the diagnosis of ovarian cancer. Ultrasound Obstet Gynecol 2008; 31: 681-690.

4. Alcázar JL, Pascual MÁ, Olarte-cochea B, Graupera B, Aubá M, Gastón B. IOTA simple rules for discriminating between benign and malignant adnexal masses: prospective external validation. Ultrasound Obstet Gynecol 2013; 42(4): 467-71.